第三届惠州大装置高精度核物理研讨会

惠州强子谱仪: 轻强子物理+中微 子束流研究奇特态+K束流物理

吴佳俊(中国科学院大学)

第三届惠州大装置高精度核物理研讨会 2024.11.16 惠州 中国科学院近代物理所







目录

- 背景介绍
- p束流
- · K介子束流
- 中微子束流
- 小结和展望



物理强子态:

介子,重子

QCD, 非微扰

夸克/胶子

强子谱?强子结构———强子内部的成分?

Atomic spectroscopy → **Atomic Quantum Theory**

Nuclear spectroscopy → Shell Model & Collective motion Model

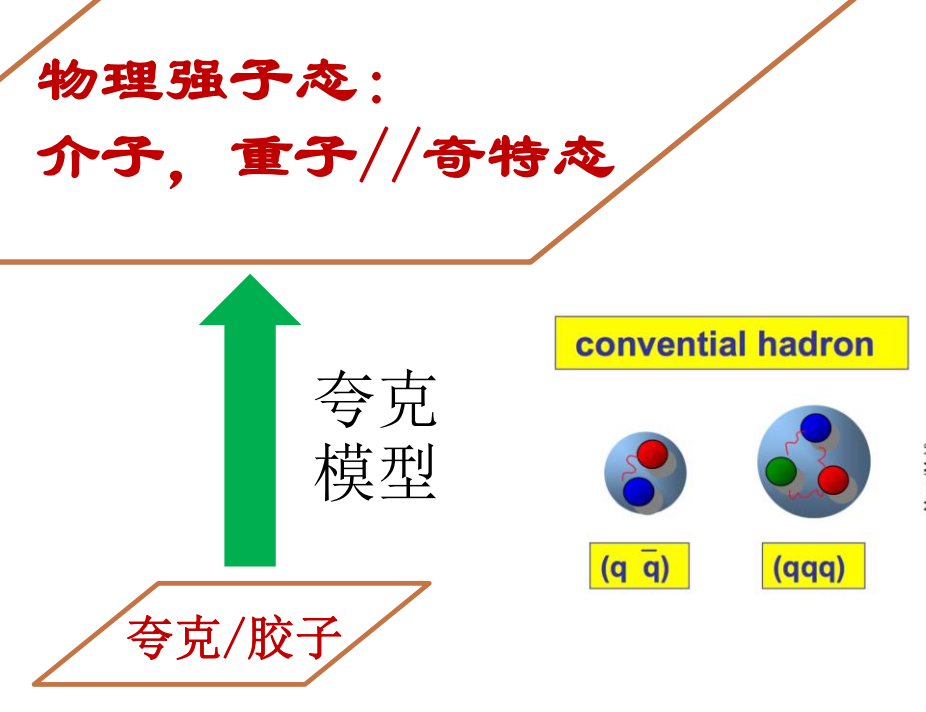
Hadron spectroscopy \rightarrow ?

来自邹冰松院士的PPT截图





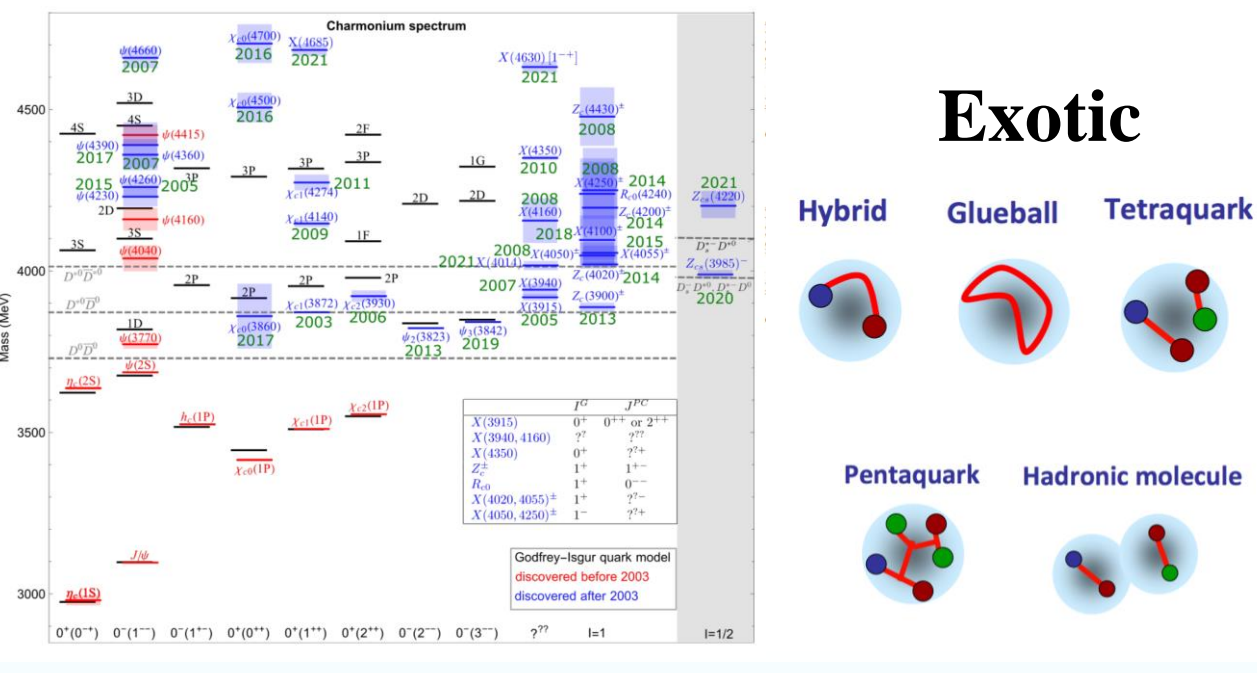




UNQUENCHED quark model

非淬火夸克模型

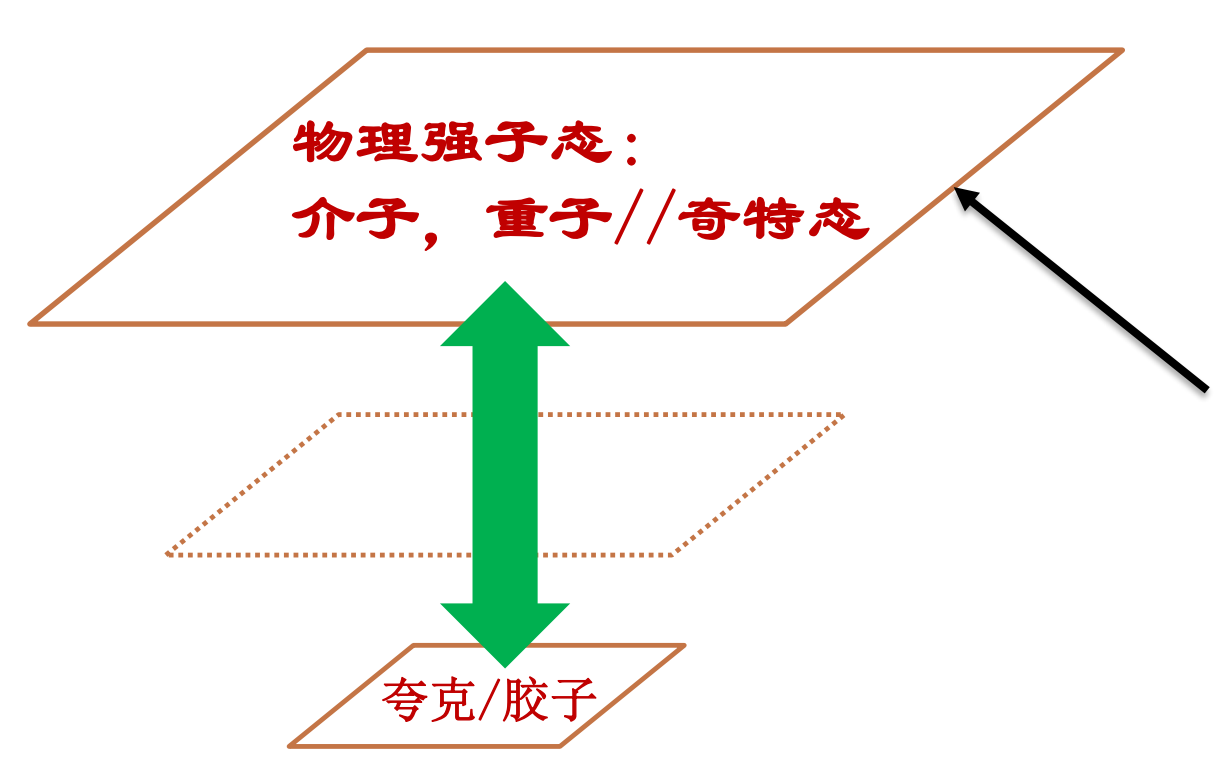
强子谱?强子结构一-强子内部的成分?











强子谱?强子结构一-强子内部的成分?

实验输入!!! 衰变和散射的信息。 需要束流和态的制备!!!

HIAF 可以带来什么?







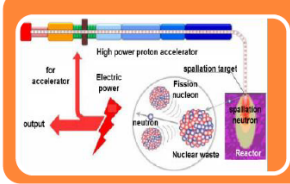


核中心主要研究领域(基于强流加速器)



核科学

- ,核物理.<u>核结构,核天体</u>,核物质,<u>强子物理</u>
- ・基础物理:超高电场OFD <u>喜能量率度(HEDP)</u> → <u>重离子惯性聚变</u>
- 高亮度前%· μ、k、反质子、中微子(π、μ、β束))EIcC,超标准模型...



能源及相关材料

- · CIADS →ADANES燃烧器:燃烧=嬗变+增值(殖)+产能,燃料循环
- 核燃料研究: 裂变嬗变元件、再生乏燃料、贵重同位素, 聚变燃料自持
- 关键核材料: 高通量裂变、聚变堆芯材料、包壳材料、冷却材料



放射生物医疗

- <u>离子束治癌</u>: 定型肿瘤(重离子外辐照)治疗, <u>β+束敏感器官外辐照</u>
- <u>靶向放药</u>: 无定型及轻度扩散肿瘤 (α、β 带电粒子内辐照) 治疗
- 辐照变异新药研制, 辐照诱变育种



核技术应用 **→<u>μ 成像</u>**

- 加速器: 强流加速器制作(核能、量产同位素);
- 辐射技术: 器件加固、核孔膜制作,辐射消毒、保鲜,等
- 探测技术: 高灵敏探测器制作



惠州核中心大科学装置与若干前沿领域进展-2026

新的高克度强 子,他强 流一新炮弹

惠州核中心大科学装置与 若干前沿领域进展-2022

詹文龙,中科院/近物所、东江实验室







- B-Ring上质子束流亮度: 1.8x10¹² pps (fast extraction, FE), 4.5x10¹¹ pps (slow extraction, SE)。
- 9.3GeV质子束流1.8x10¹² pps (FE)产生不同强子的数目:

Hadrons	π^+	π^-	K+	K^-	K_L^0	η	η'	$ u_{ m e}/ u_{\mu}$
L (pps)	2.9×10^9	2.1×10^9	$9.x10^{7}$	$1.2x10^7$	$5.0 \text{x} 10^7$	$4x10^{6}$	$1x10^{6}$	1.2×10^9

X100

x50

➤ 对比J-PARC的K介子束流

- ✓ K_L : $P_K = 1.8 \text{ GeV/c}, L = 10^6 \text{ pps}$
- ✓ K1.8 : $P_K = 2.0 \text{ GeV/c}$, $L = 10^6 \text{ pps} / 2x10^{14} \text{ppp}$ (270kW)
- ✓ K1.8BR: P_K =0.8~1.2 GeV/c, expected L <= 5.5x10⁶ pps (K/Pi~7.0)
- ✓ K1.1BR : $P_K <= 0.8 \text{ GeV/c}$, L unknown

利用中微

子研究强

子物理



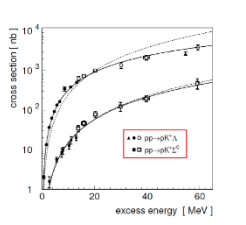


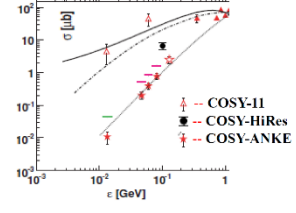


Nuclear Science and Techniques

强流质子束流物理

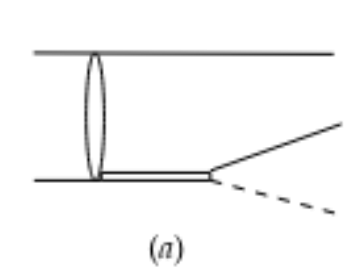
 $p p \rightarrow p K^+ \Lambda, p K^+ \Sigma^0,$ $n K^+ \Sigma^+$



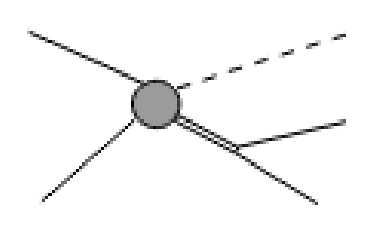


重离子碰撞奇异产生的基本过程,3个量级的不确定性!

来自邹冰松院士的PPT截图

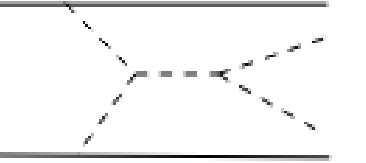


- 研究重子激发态! N^* , Δ^* 和 $\Sigma^*_{\text{J.J.Xie & B.S.Zou, PLB649 (2007) 405}}$ 1. 利用同位旋筛子, $pp \to n\Sigma^+K^+, \Sigma^+K^+$ 只有 Δ 共振态。
 - 2. 不同反应道的联合分析, 末态任意两个粒子的重散射,
 - $pp \to pp\eta, p\Sigma K, p\Lambda K,$ 对 $p\eta$ 的结构描述不佳,只考虑pK
 - 3. 五夸克重子态, Pc和Ps态的寻找Q.F. Lyu, D.M. Li, CPC 39(2015) 113104



- $pp \to X\pi\pi$, X可以是具有两个重子数的强子态。
- $pp \to D_{30}\pi^-\pi^- \to p\pi^+p\pi^+\pi^-\pi^-$, 测量 $I = I_z = 3$ 的d*(2380)
- $pd \rightarrow d_{\Lambda}K$, 超核的研究 J.M.Richard, Q. Wang and Q.Zhao, PRC 91(2015)014003

• 介子激发态!



需要高能质子对撞反应

反应道	阈值束(MeV) 流动能
$pp \to pp\pi^0$	280
$pp \to pp\pi^+\pi^-$	600
$pp \to pp\eta$	1258
$pp \to pK^+\Lambda$	1580
$pp \to pp\eta\pi^0$	1616
$pp \to pp\omega$	1890
$pp \to pp\eta'$	2405
$pp \to ppK^+K^-$	2494
$pp \to pp\phi$	2592

M.G. Albrow, T.D. Coughlin, J.R. Forshaw, Prog. Part. Nucl. Phys. 65(2010)149







▶ 次级束流反应的"靶":

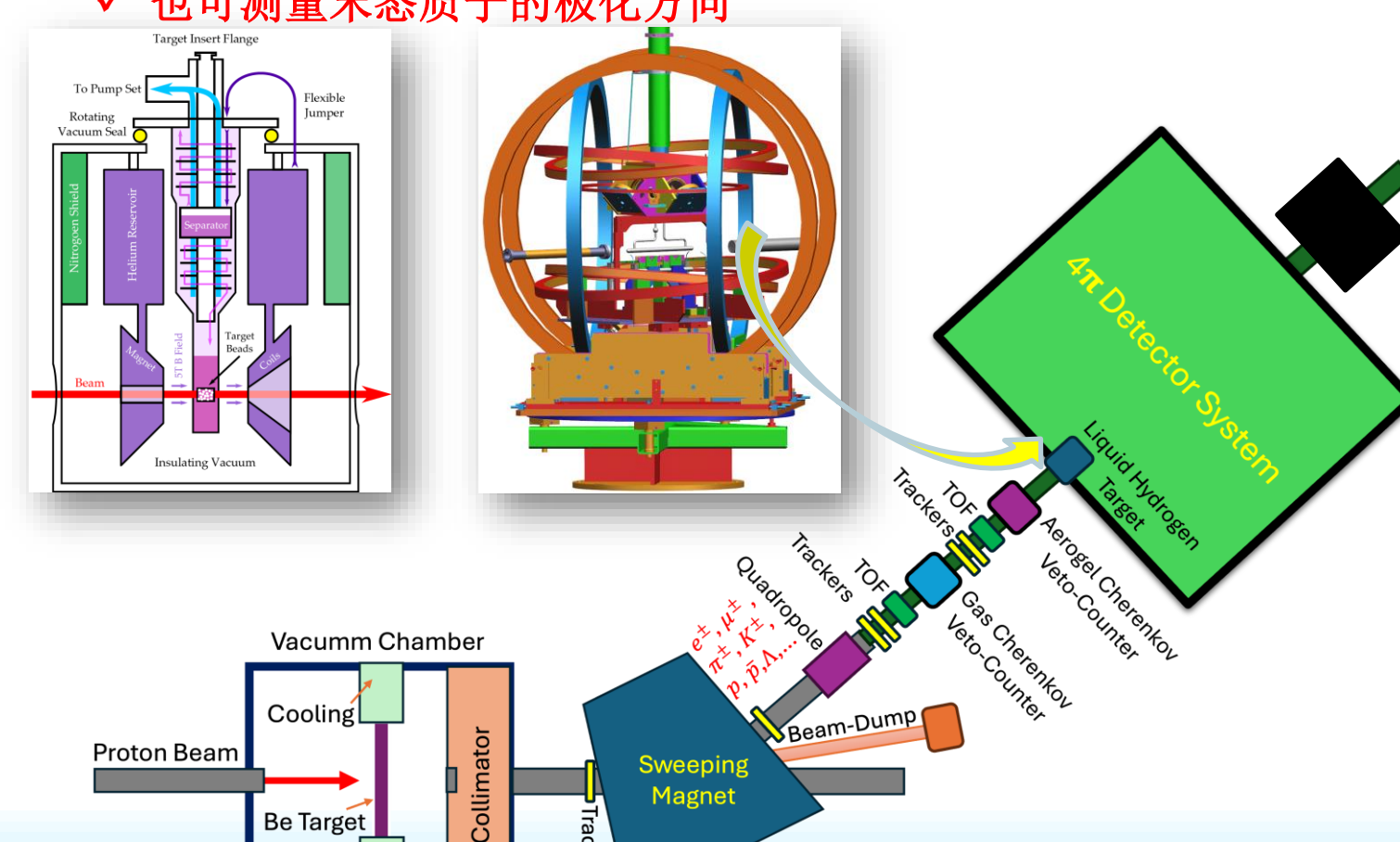
Proton Beam

Be Target

强流质子束流物理

- ✓ 非极化液态氢,固体原子核
- ✓ 纵向&横向极化质子(NH3)和中子(He3)





Sweeping Magnet

总截面
$$\int |T|^2 d\phi$$
 微分截面

$$|T|^2 = \sum_{\lambda_i, \lambda_f} |T_{\lambda_i, \lambda_f}|^2$$
极化观测

$$\left|T_{\lambda_i,\lambda_f}\right|^2$$

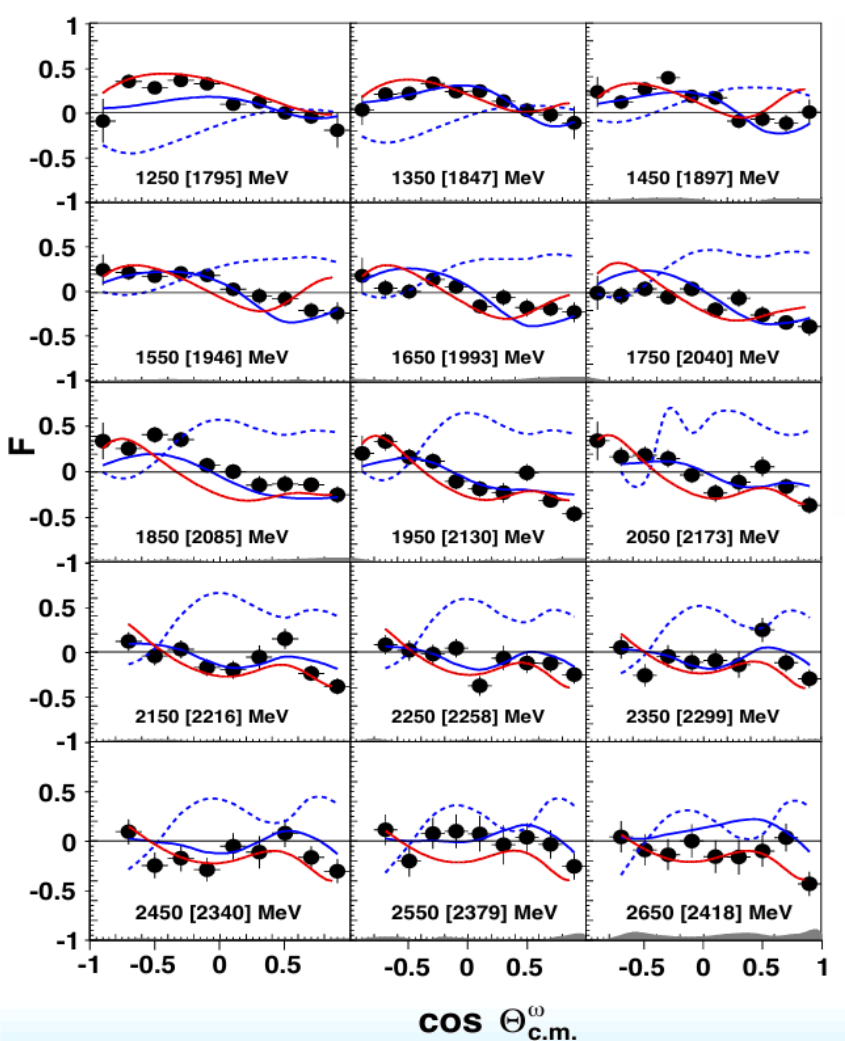


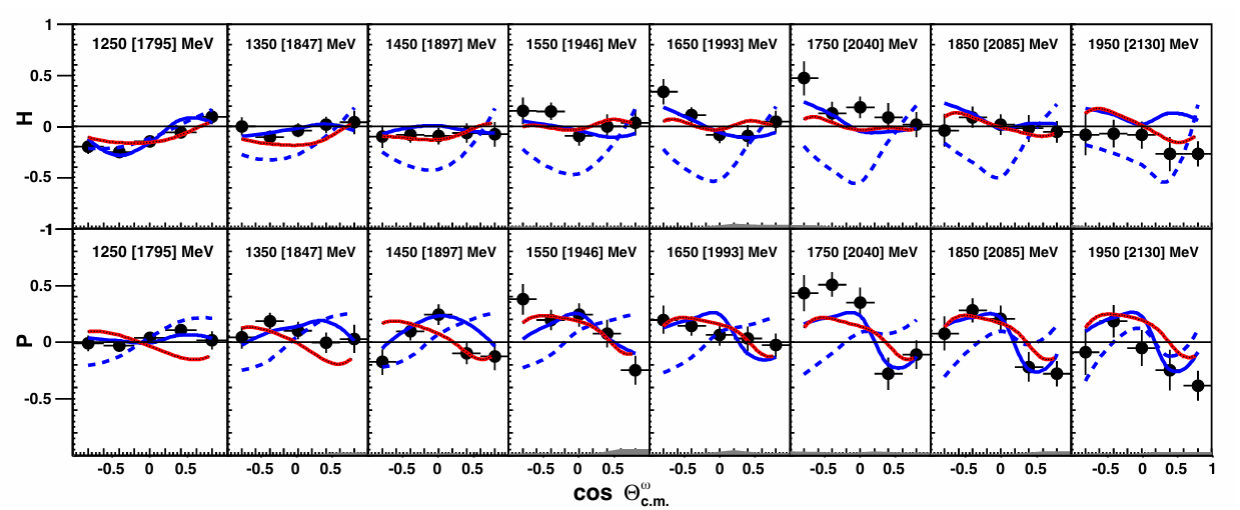




强流质子束流物理

✓极化信息的重要性举例





CLAS Collaboration PRL122(2019)162301

$$\vec{\gamma}\vec{p}\to p\omega$$

$$\frac{d\sigma}{d\Omega} = \frac{d\sigma_0}{d\Omega} \left\{ \left(1 - \delta_l \Sigma \cos 2\beta \right) \right\}$$

$$+\Lambda\cos\alpha\left(-\delta_{l}H\sin2\beta\right) + \delta_{\odot}F$$

$$-\Lambda \sin \alpha \left(-T + \left(P \cos 2\beta \right) \right)$$







总截面

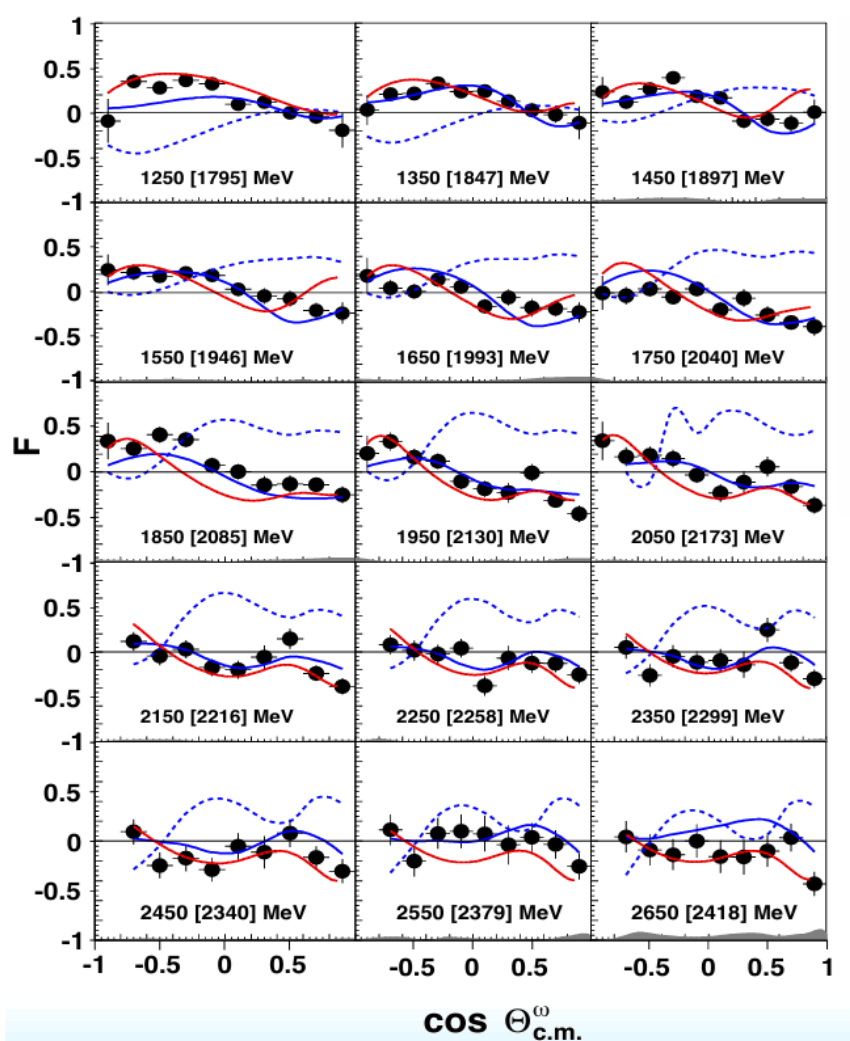
微分截面

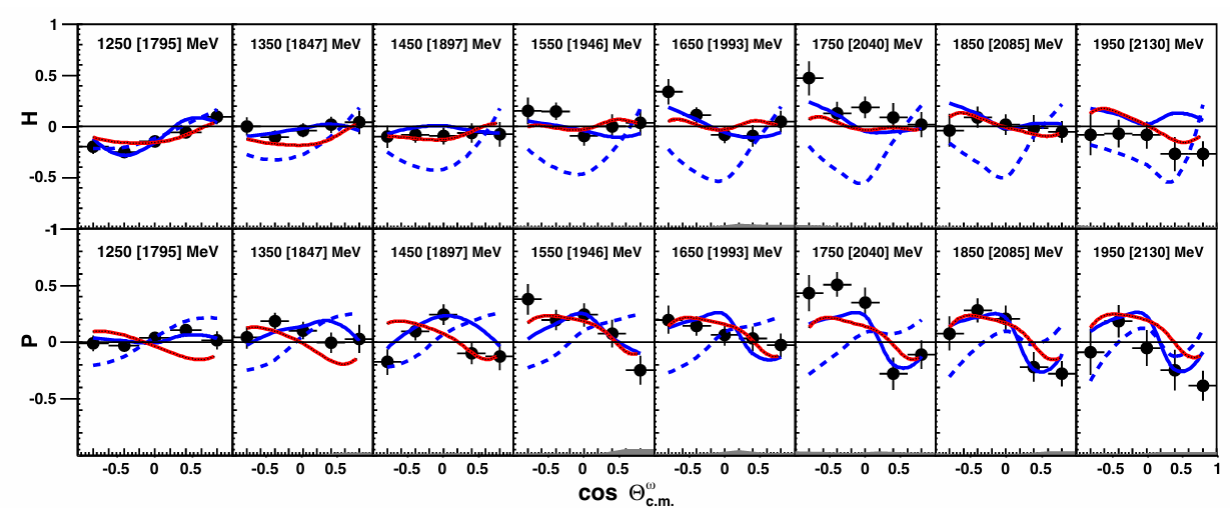
极化观测

 $\int |T|^2 d\phi$

强流质子束流物理

✓极化信息的重要性举例





CLAS Collaboration PRL122(2019)162301

$$\vec{\gamma}\vec{p} \to p\omega$$

$$\frac{d\sigma}{d\Omega} = \frac{d\sigma_0}{d\Omega} \left\{ \left(1 - \delta_l \Sigma \cos 2\beta \right) \right\}$$

$$+\Lambda\cos\alpha\left(-\delta H\sin2\beta\right) + \delta_{\odot}F$$

$$-\Lambda \sin \alpha \left(-T + \left(P \cos 2\beta \right) \right)$$

红色和蓝色的实线 N.C.Wei, F.Huang, K.Nakayama, D.M.Li PRD 100(2019)114026 树图阶的有效拉氏量计算

蓝色的虚线
I.Denisenko et al.,
PLB 755(2016)97
Bonn-Gatchina Group
耦合道模型





总截面

微分截面

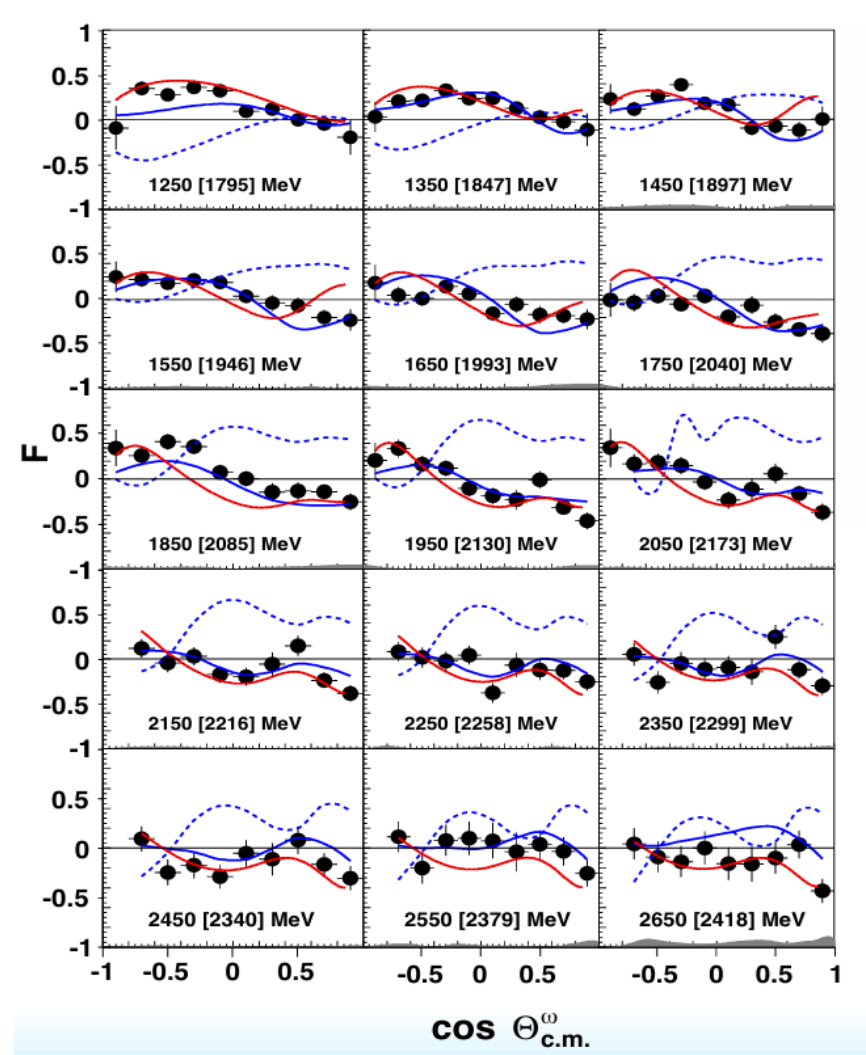
极化观测

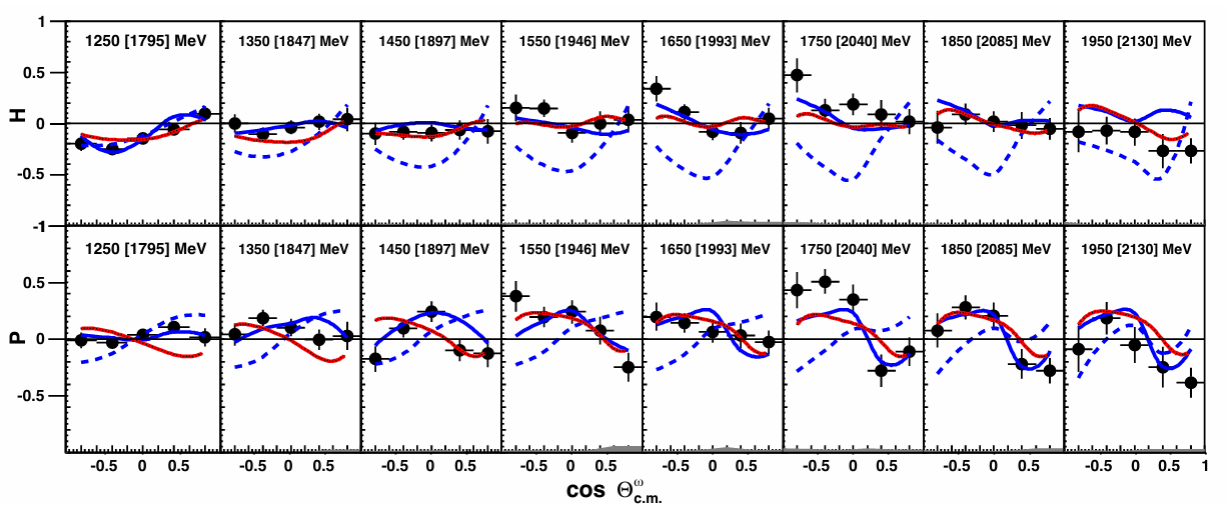
 $\int |T|^2 d\phi$



强流质子束流物理

✓极化信息的重要性举例





CLAS Collaboration PRL122(2019)162301

$$\vec{\gamma}\vec{p} \to p\omega$$

$$\frac{d\sigma}{d\Omega} = \frac{d\sigma_0}{d\Omega} \left\{ \left(1 - \delta_l \Sigma \cos 2\beta \right) \right\}$$

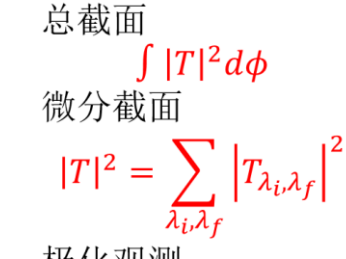
$$+\Lambda\cos\alpha\left(-\delta_{l}H\sin2\beta\right) + \left(\delta_{\odot}F\right)$$

$$-\Lambda \sin \alpha \left(-T + \left(P\cos 2\beta\right)\right)$$

红色和蓝色的实线 N.C.Wei, F.Huang, K.Nakayama, D.M.Li PRD 100(2019)114026 树图阶的有效拉氏量计算

> 蓝色的虚线 I.Denisenko et al., PLB 755(2016)97

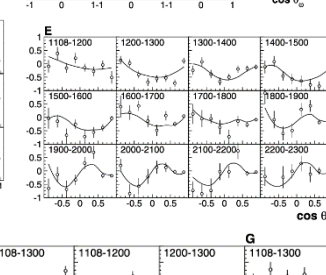
Bonn-Gatchina Group 耦合道模型

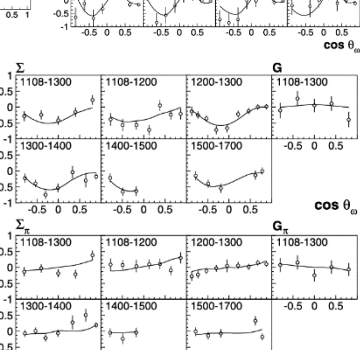


极化观测



			-	
	$d\sigma/d\Omega$, $\mu b/sr$			
,	1150-1200	1200-1250	1250-1300	1300-1350
ľ	· Andrewson V	- Dayson grant gra	***************************************	11,11,1
0.1				
1	1350-1400	1400-1450	1450-1500	1500-1550
	te _{perantantan}		 ++++++++++++++++++++++++++++++++++++	1401100040
0.1	1550-1600	1600-1650	1650-1700	1700-1750
1	104014400000000000000000000000000000000	the property of	1-4117111111111111111111111111111111111	
0.1	1750-1800	1800-1850	1850-1900	1900-1950
1	· · · · · · · · · · · · · · · · · · ·	******************************	t _{em}	(*1 11111111111111111111111111111111111
0.1	1950-2000	2000-2050	2050-2100	2100-2150
1	tunggana	the same of	Pyrrapither A	Hennettenaa
0.1	2150-2200 /	2200-2250 /	2250-2300 /	2300-2350
1	J		. 1	t. 1
0.1	tesseque proper	**************************************	the sections	Name of Street
	2350-2400	2400-2450	2450-2500	1 0 1
1	. /		. 1	
0.1	The state of the s	Taran Managar	Trappet to a	cos θ _m
	-1 0 1	-1 0 1	-1 0 1	CO3 0 ₀









0.5 Re ρ10



K介子束流物理

Particle		overall	$\overline{N\gamma}$	$N\pi$	$\Delta\pi$	$N\sigma$	Νη	ΛK	ΣK	Nμ	Νω	Particle	J^P	overall	$N\gamma$	$N\pi$	$\Delta\pi$	ΣK	$N\rho$	$\Delta \eta$			0
N	1/2+	****										$\Delta(1232)$	$3/2^{+}$	****	****	****						~D	Overal
N(1440)	,	****		****								$\Delta(1600)$	$3/2^{+}$	****	****	***	****				Particle	J^P	status
N(1520)		****		****		**	****					$\Delta(1620)$	$1/2^{-}$	****	****	****	****				$\Lambda(1116)$	$1/2^{+}$	****
N(1535) N(1650)		****		****		*	****					$\Delta(1700)$,	****	****	****	****	*	*		$\Lambda(1380)$	$1/2^{-}$	**
N(1675)	,	****		****		*	****	*				$\Delta(1750)$		*	*	*		*			$\Lambda(1405)$	$1/2^{-}$	****
N(1680)	, .	****		****			*	*	*			$\Delta(1900)$,	***	***	***	*	**	*		$\Lambda(1520)$	$3/2^{-}$	****
N(1700)		***	**	***	***	*	*			*		$\Delta(1905)$		****	****		**	*	*	44		- /	
N(1710)		****	****	****	*		***	**	*	*	*	, ,				****			不	**	$\Lambda(1600)$	$1/2^{+}$	****
N(1720)	$3/2^{+}$	****	****	****	***	*	*	****	*	*	*	$\Delta(1910)$, , , , , , , , , , , , , , , , , , ,	****	***	****	**	**		*	$\Lambda(1670)$	$1/2^{-}$	****
N(1860)	$5/2^{+}$	**	*	**		*	*					$\Delta(1920)$		***	***	***	***	**		**	$\Lambda(1690)$	$3/2^{-}$	****
N(1875)		***	**	**	*	**	*	*	*	*	*	$\Delta(1930)$,	***	*	***	*	*			$\Lambda(1710)$	$1/2^{+}$	*
N(1880)	,	***	**	*	**	*	*	**	**		**	$\Delta(1940)$, .	**	*	**	*			*	$\Lambda(1800)$	$1/2^{-}$	***
N(1895)		****	****	*	*	*	****	**	**	*	*	$\Delta(1950)$		****	****	****	**	***				,	
N(1900)	٠.	****	****	**	**	*	*	**	**		*	$\Delta(2000)$	$5/2^{+}$	**	*	**	*		*		$\Lambda(1810)$	$1/2^{+}$	***
N(1990)		**	**	**			*	*	*			$\Delta(2150)$	$1/2^{-}$	*		*					$\Lambda(1820)$	$5/2^{+}$	****
N(2000) N(2040)		**	**	*	**	*	*				*	$\Delta(2200)$	$7/2^{-}$	***	***	**	***	**			$\Lambda(1830)$	$5/2^{-}$	****
N(2040) N(2060)	,	***	***	*								$\Delta(2300)$	$9/2^{+}$	**		**					$\Lambda(1890)$	$3/2^{+}$	****
N(2100)		***	**	***	**	**	*	*	~	*	*	$\Delta(2350)$	- / -	*		*					$\Lambda(2000)$	$1/2^{-}$	*
N(2120)	,	***	***	**	**	**		**	*		*	$\Delta(2390)$, ,	*		*					,	,	
N(2190)	$7/2^{-}$	****	****	****	****	**	*	**	*	*	*	,	,	**	**	**					$\Lambda(2050)$	3/2-	*
N(2220)	$9/2^{+}$	****	**	****			*	*	*			()	- /								$\Lambda(2070)$	$3/2^{+}$	*
N(2250)	$9/2^{-}$	****	**	****			*	*	*			$\Delta(2420)$,	****	*	****					$\Lambda(2080)$	$5/2^{-}$	*
N(2300)	$1/2^{+}$	**		**								$\Delta(2750)$		**		**					$\Lambda(2085)$	$7/2^{+}$	**
N(2570)		**		**								$\Delta(2950)$	/	**		**					$\Lambda(2100)$	$7/2^{-}$	****
N(2600)				***									т.,	•							, ,	,	
N(2700)				**																	$\Lambda(2110)$	$5/2^{+}$	***
		ice is ce		1																	$\Lambda(2325)$	$3/2^{-}$	*
***		ice is ve ce of ex			ir																$\Lambda(2350)$	$9/2^{+}$	***
**	PAIGGI	ce or ex	ысис	19 191	и.																	,	

Evidence of existence is poor.

		Overall		Status	as seen in —
Particle	J^P	status	$N\overline{K}$	$\Sigma\pi$	Other channels
$\overline{\Lambda(1116)}$	$1/2^{+}$	****			$N\pi$ (weak decay
$\Lambda(1380)$	$1/2^{-}$	**	**	**	
$\Lambda(1405)$	$1/2^{-}$	****	****	****	
$\Lambda(1520)$	$3/2^{-}$	****	****	****	$\Lambda\pi\pi, \Lambda\gamma, \Sigma\pi\pi$
$\Lambda(1600)$	$1/2^{+}$	****	***	****	$\Lambda\pi\pi, \Sigma(1385)\pi$
$\Lambda(1670)$	$1/2^{-}$	****	****	****	$\Lambda\eta$
$\Lambda(1690)$	$3/2^{-}$	****	****	***	$\Lambda\pi\pi, \Sigma(1385)\pi$
$\Lambda(1710)$	$1/2^{+}$	*	*	*	
$\Lambda(1800)$	$1/2^{-}$	***	***	**	$\Lambda\pi\pi, N\overline{K}^*$
$\Lambda(1810)$	$1/2^{+}$	***	**	**	$N\overline{K}^*$
$\Lambda(1820)$	$5/2^{+}$	****	****	****	$\Sigma(1385)\pi$
$\Lambda(1830)$	$5/2^{-}$	****	****	****	$\Sigma(1385)\pi$
$\Lambda(1890)$	$3/2^{+}$	****	****	**	$\Sigma(1385)\pi, N\overline{K}^*$
$\Lambda(2000)$	$1/2^{-}$	*	*	*	
$\Lambda(2050)$	$3/2^{-}$	*	*	*	
$\Lambda(2070)$	$3/2^{+}$	*	*	*	
$\Lambda(2080)$	$5/2^{-}$	*	*	*	
$\Lambda(2085)$	$7/2^{+}$	**	**	*	
$\Lambda(2100)$	$7/2^{-}$	****	****	**	$N\overline{K}^*$
$\Lambda(2110)$	$5/2^{+}$	***	**	**	$N\overline{K}^*$
$\Lambda(2325)$	$3/2^{-}$	*	*		
$\Lambda(2350)$	$9/2^{+}$	***	***	*	
$\Lambda(2585)$		*	*		

		Overall	Status	s as see	n in —
Particle	J^P	status	$N\overline{K}$	$\Lambda\pi$	$\Sigma \pi$
$\overline{\Sigma(1193)}$	$1/2^{+}$	****			
$\Sigma(1385)$	$3/2^{+}$	****		****	****
$\Sigma(1580)$	$3/2^{-}$	*	*	*	*
$\Sigma(1620)$	$1/2^{-}$	*	*	*	*
$\Sigma(1660)$	$1/2^{+}$	***	***	***	***
$\Sigma(1670)$	$3/2^{-}$	****	****	****	****
$\Sigma(1750)$	$1/2^{-}$	***	***	**	***
$\Sigma(1775)$	$5/2^{-}$	****	****	****	**
$\Sigma(1780)$	$3/2^{+}$	*	*	*	*
$\Sigma(1880)$	$1/2^{+}$	**	**	*	
$\Sigma(1900)$	$1/2^{-}$	**	**	*	**
$\Sigma(1910)$	$3/2^{-}$	***	*	*	**
$\Sigma(1915)$	$5/2^{+}$	****	***	***	***
$\Sigma(1940)$	$3/2^{+}$	*	*		*
$\Sigma(2010)$	$3/2^{-}$	*	*	*	
$\Sigma(2030)$	$7/2^{+}$	****	****	****	**
$\Sigma(2070)$	$5/2^{+}$	*	*		*
$\Sigma(2080)$	$3/2^{+}$	*		*	
$\Sigma(2100)$	$7/2^{-}$	*	*	*	*
$\Sigma(2110)$	$1/2^{-}$	*	*	*	*
$\Sigma(2230)$	$3/2^{+}$	*	*	*	*
$\Sigma(2250)$		**	**	*	*
$\Sigma(2455)$		*	*		
$\Sigma(2620)$		*	*		
$\Sigma(3000)$		*	*	*	
$\Sigma(3170)$		*			

					Stati	ıs as seen in
Particle	J^P	Overall status	$\Xi\pi$	ΛK	ΣK	$\Xi(1530)\pi$
Ξ(1318)	1/2+	****				
$\Xi(1530)$	3/2+	****	****			
$\Xi(1620)$		*	*			
$\Xi(1690)$		***		***	**	
$\Xi(1820)$	3/2-	***	**	***	**	**
$\Xi(1950)$		***	**	**		*
$\Xi(2030)$		***		**	***	
$\Xi(2120)$		*		*		
$\Xi(2250)$		**				
$\Xi(2370)$		**				
$\Xi(2500)$		*		*	*	

Omega-	\$ \$ \$ \$
Omega(2012)-	☆ ☆ ☆
Omega(2250)-	☆ ☆ ☆
Omega(2380)-	☆ ☆
Omega(2470)-	☆ ☆

三星以上/以下的, N^* ,21/7个, Δ^* ,12/10个, Λ^* ,14/9个, Σ^* ,9/17个, Ξ^* ,6/5个, Ω^* ,3/2个

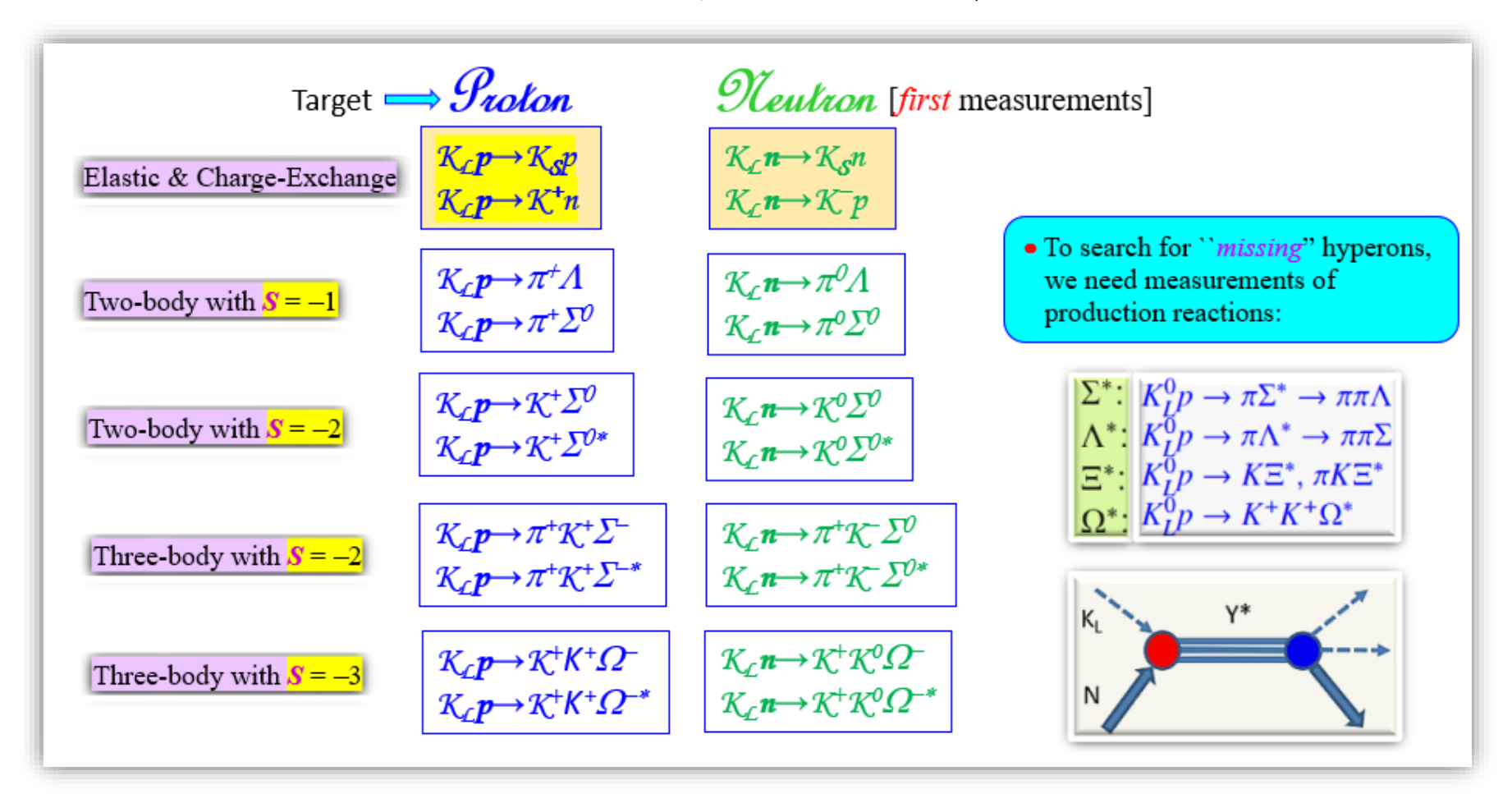








K介子束流物理



三星以上/以下的, N^* ,21/7个, Λ^* , 14/9个, Σ^* , 9/17个, Ξ^* , 6/5个, Ω^* , 3/2个

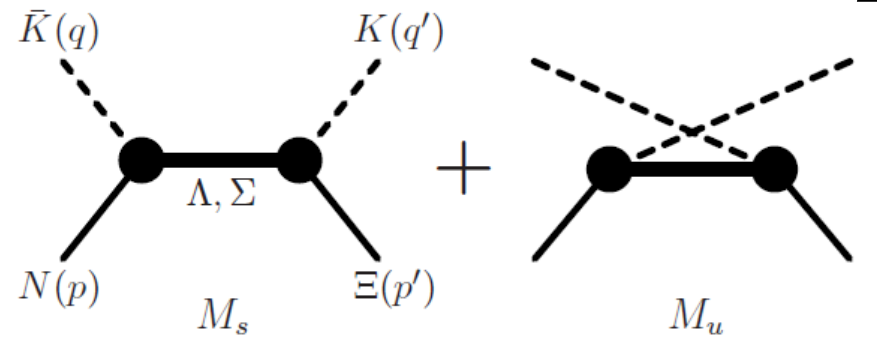






$K^-p \rightarrow K^+\Xi^-$

$$F_m(s) = \frac{\lambda^4}{\lambda^4 + (s - m_R^2)^2}$$



共振态粒子 (R)	质量 (MeV)	宽度 (MeV)	$g_{KNR} * g_{K\Xi R}$
Λ	1116	0	46.31 ^[3]
Σ	1189	0	$47.47^{[3]}$
$\Lambda(1405)$	1405	50	$1.501^{[2]}$
$\Lambda(1670)$	1670	35	$0.054^{[2]}$
$\Lambda(1810)$	1810	150	$7.840^{[2]}$
$\Lambda(1520)$	1520	16	$0.646^{[1]}$
$\Sigma(1750)$	1750	90	$0.250^{[2]}$
$\Sigma(1385)$	1385	36	$18.00^{[3]}$
$\Sigma(1670)$	1670	60	$7.840^{[2]}$

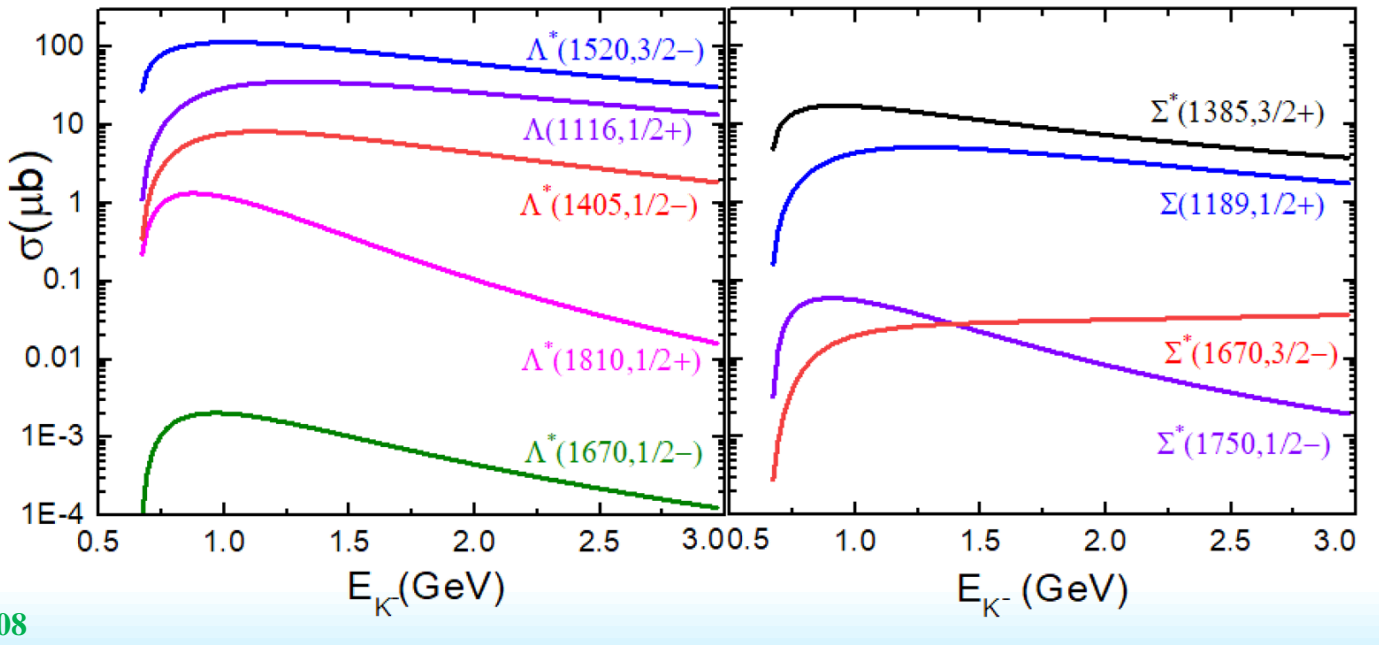
 $[1] D.A. Sharov, V.L. Korotkikh \ and \ D.E. Lanskoy, EPJA47 (2011) 109\\ [2] R. Shyam, \ O. Scholten \ and \ A.W. Thomas \ , PRC84 (2011) 042201$

[3]B.C.Jackson, Y.Oh, H.Haberzettl and K.Nakayama, PRC91(2015)065208

$$\mathcal{L}_{KNR_{1/2}} = -g_{KNR}\bar{\Psi}_{R}[\chi i\Gamma\varphi_{K} + (1-\chi)\frac{1}{M}\Gamma\gamma_{\mu}(\partial^{\mu}\varphi_{K})]\Psi_{N}$$

$$\mathcal{L}_{KNR_{3/2}} = \frac{g_{NRK}}{m_{K}}\bar{\Psi}_{N}\Gamma\gamma_{5}\Psi_{R\mu}\partial^{\mu}K \qquad \Gamma = \gamma_{5}(+) 1 (-)$$

$$\mathcal{L}_{KN \; \Sigma(1670)} = \bar{\Psi}_{\Sigma}^{\alpha} \frac{g_{KNR_{3/2}}}{2 \cdot m_{K}} \left[\gamma_{\alpha} \left(q.p \right) - \not p q_{\alpha} \right] \left[1 + \not p / M_{N} \right] \Psi_{N}$$



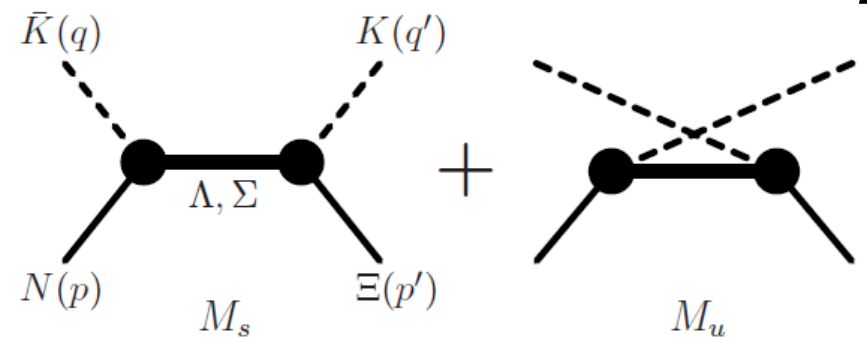






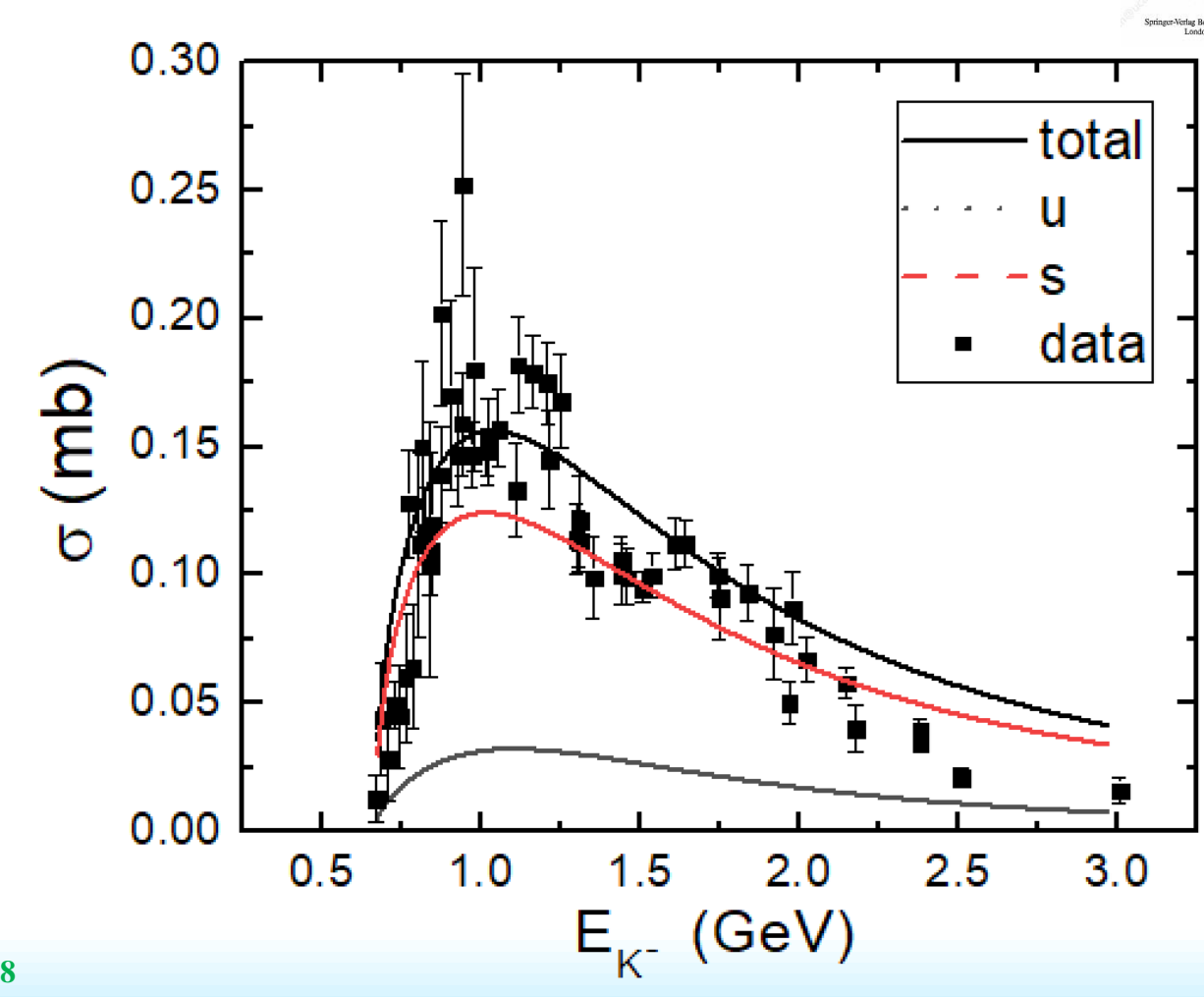


$K^-p \rightarrow K^+\Xi^-$



共振态粒子 (R)	质量(MeV)	宽度 (MeV)	$g_{KNR} * g_{K\Xi R}$
Λ	1116	0	46.31 ^[3]
Σ	1189	0	47.47 ^[3]
$\Lambda(1405)$	1405	50	$1.501^{[2]}$
$\Lambda(1670)$	1670	35	$0.054^{[2]}$
$\Lambda(1810)$	1810	150	$7.840^{[2]}$
$\Lambda(1520)$	1520	16	$0.646^{[1]}$
$\Sigma(1750)$	1750	90	$0.250^{[2]}$
$\Sigma(1385)$	1385	36	$18.00^{[3]}$
$\Sigma(1670)$	1670	60	$7.840^{[2]}$

[1]D.A.Sharov, V.L.Korotkikh and D.E.Lanskoy, EPJA47(2011)109
[2]R.Shyam, O.Scholten and A.W.Thomas, PRC84(2011)042201
[3]B.C.Jackson, Y.Oh, H.Haberzettl and K.Nakayama, PRC91(2015)065208









LANDOLT-BÖRNSTEIN

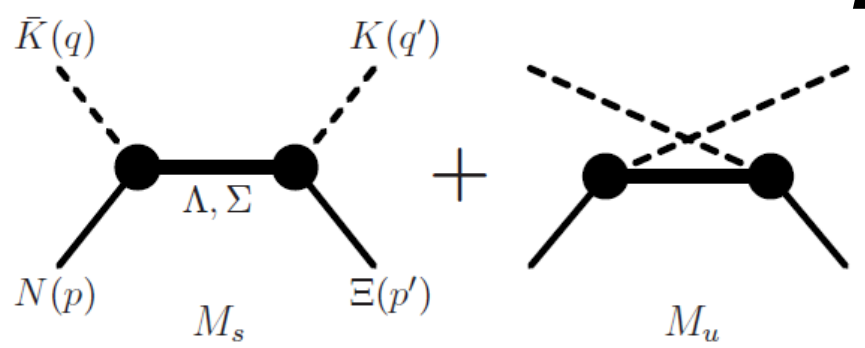
Numerical Data and Functional Relationships
in Science and Technology

Nanjing and Lanzhou U. (main)) (Nov 28, 2023)

Published in: Eur.Phys.J.C 84 (2024) 4, 380 • e-Print: 2311.16920 [hep-ph]

g pdf \mathscr{D} DOI \square cite \square claim \square reference search $\mathfrak D$ 1 citation

$K^-p \rightarrow K^+\Xi^-$

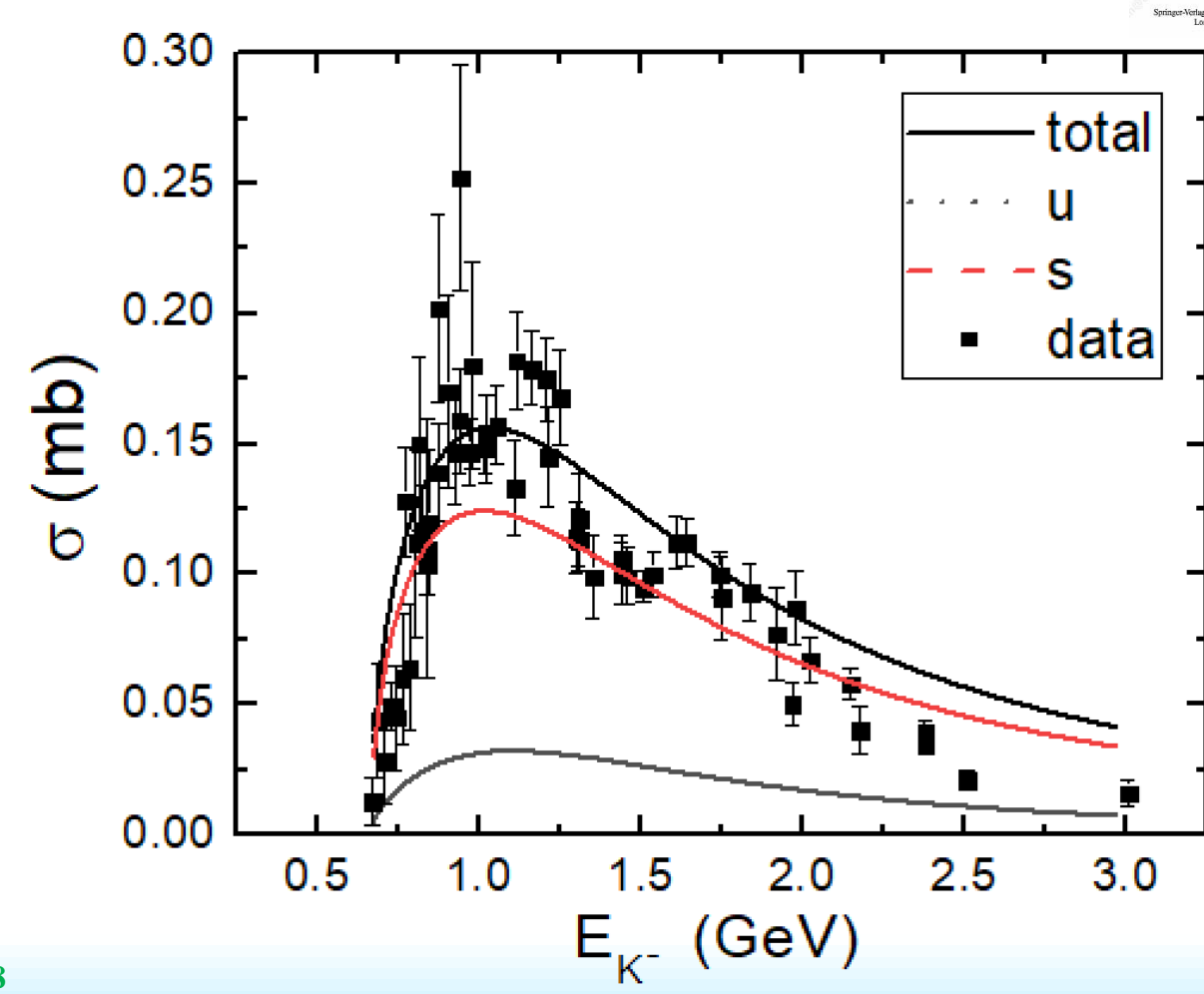


共振态粒子 (R)	质量(MeV)	宽度 (MeV)	$g_{KNR} * g_{K\Xi R}$
Λ	1116	0	46.31 ^[3]
Σ	1189	0	47.47 ^[3]
$\Lambda(1405)$	1405	50	$1.501^{[2]}$
$\Lambda(1670)$	1670	35	$0.054^{[2]}$
$\Lambda(1810)$	1810	150	$7.840^{[2]}$
$\Lambda(1520)$	1520	16	$0.646^{[1]}$
$\Sigma(1750)$	1750	90	$0.250^{[2]}$
$\Sigma(1385)$	1385	36	$18.00^{[3]}$
$\Sigma(1670)$	1670	60	$7.840^{[2]}$

[1]D.A.Sharov, V.L.Korotkikh and D.E.Lanskoy, EPJA47(2011)109

[2]R.Shyam, O.Scholten and A.W.Thomas, PRC84(2011)042201

[3]B.C.Jackson, Y.Oh, H.Haberzettl and K.Nakayama, PRC91(2015)065208











LANDOLT-BÖRNSTEIN

Numerical Data and Functional Relationship in Science and Technology

中微子束流物理

利用中微子束流研究强子物理。

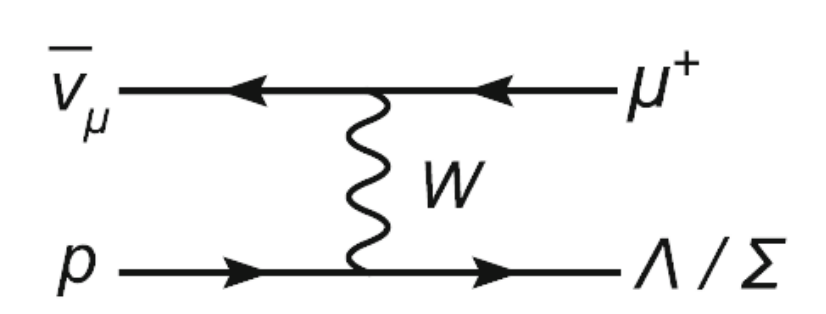
$$\gamma p \to KY^*, \quad \pi p \to KY^*, \quad e^+e^- \to Y\overline{Y}^*, \quad ep \to eKY^*, \quad pp \to KNY^*$$

问题:多强子末态带来的困扰!

$$K^-p \to Y^*$$

问题:束流能量选择有限制!

$$\bar{\nu}p \rightarrow l^+Y^*$$





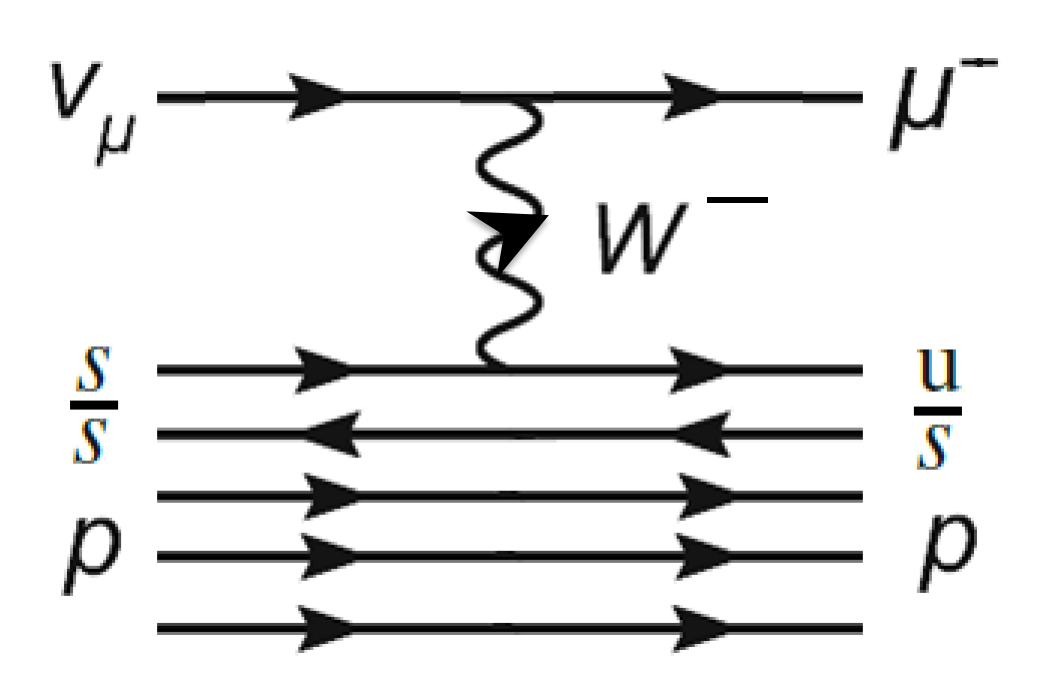




中微子束流物理

中微子核反应估计核子内部的 $u\bar{u}/d\bar{d}/s\bar{s}/c\bar{c}$ 成分(邹老师的idea)

 $|p\rangle = c_1|uud\rangle + c_2|uud(u\bar{u})\rangle + c_3|uud(d\bar{d})\rangle + c_4|uud(s\bar{s})\rangle + c_5|uud(c\bar{c})\rangle.$



WWY.L	
W^{+}	
**	

$c \rightarrow d$	$\overline{d} \to \overline{c}$
$c \rightarrow s$	$\overline{s} \to \overline{c}$
$u \rightarrow d$	$\overline{d} \to \overline{u}$
$u \rightarrow s$	$\overline{s} \to \overline{u}$

W^- :

$d \rightarrow u$	$\overline{u} \to \overline{d}$
$d \rightarrow c$	$\overline{c} \to \overline{d}$
$s \rightarrow u$	$\overline{u} \to \overline{s}$
$s \rightarrow c$	$\overline{c} \to \overline{s}$







中微子束流物理

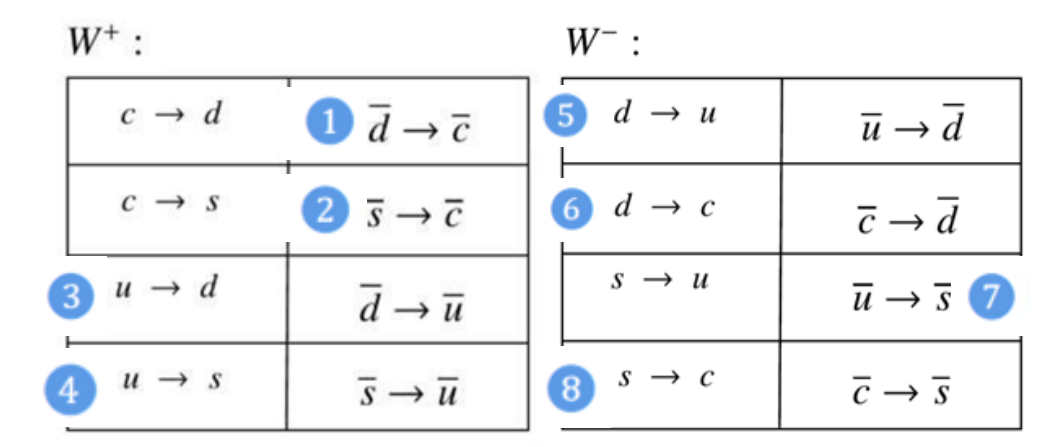
中微子核反应估计核子内部的 $u\bar{u}/d\bar{d}/s\bar{s}/c\bar{c}$ 成分(邹老师的idea)

 $|p\rangle = c_1|uud\rangle + c_2|uud(u\bar{u})\rangle + c_3|uud(d\bar{d})\rangle + c_4|uud(s\bar{s})\rangle + c_5|uud(c\bar{c})\rangle.$

Eight important processes:

$$W^+$$
: 1 $(d\overline{d})uud \rightarrow d\overline{c}uud$ W^- : 5 $uud \rightarrow uuu$
2 $(s\overline{s})uud \rightarrow s\overline{c}uud$ 6 $uud \rightarrow uuc$
3 $uud \rightarrow dud$ 7 $(u\overline{u})uud \rightarrow u\overline{s}uud$
4 $uud \rightarrow sud$ 8 $(s\overline{s})uud \rightarrow c\overline{s}uud$

- \gg 3, 4, 5 has been studied by Wu and Zou. $\bar{v}_l/v_l+p \rightarrow l^{\pm}+n/\Lambda/\Sigma_0/\Delta^{++}$
- **»** Adopting the 6 process to estimate the cross-section of Σ_c^{++} production?
- **>>** The processes ① and ⑦ can be used to study the components of $u\bar{u}$ and $d\bar{d}$ that undergo continuous generation and annihilation within protons. That aims to test the asymmetry between \bar{d} and \bar{u} , with $P_{\bar{d}-\bar{u}} \simeq (11.8 \pm 1.2)$ %.
- **>>** The processes 2 and 8 can be used to study the components of $s\bar{s}$ within protons.



理论计算正在进行,HIAF 是否可以进行模拟,需要高 能的中微子







小结和展望

- 理解QCD的非微扰和色禁闭现阶段只能从现象总结 规律, 试图深入理解QCD理论。需要大量精确的实 验。
- · 高亮度质子束流和K介子束流等强子束流,以及中微 子束流可以实现强子反应的高精度测量, 发现确认 众多的强子共振杰!
- · 期待HIAF上丰富的强子物理实验。













